

II-18 柱体に作用するLONGITUDINAL FORCE & TRANSVERSE FORCEについて

岐阜大学 増田重正
名城大学 ○伊藤政博
日本水道コンサルタント 遠藤義廣

1.はじめに

ある断面形状を持つ柱体に波が作用するとき、その柱体には波の進行方向の水平波力(*Longitudinal Force: F_L*)と波の進歩方向と直角方向の水平波力(*Transverse Force or Lift Force: F_T*)との合成波力が作用する(Fig. 1)。波力 F_T に関しては、従来より数多くの研究が行われてている。しかし、波力 F_L に関しては、Wiguel, Bidwellらによつて、 F_T は F_L に比べて無視できない大きさである、といふことが指摘されている。現在のことから、柱体に作用する F_T の挙動およびその特性はまだ未知の点が多い。また、柱体の断面形状についても、これまで主として円形断面について研究が行なわれてゐる。しかし、これ以外の断面形状、たゞえば、正四角形などの形状を有する柱体は海岸構造物に頻繁に使用されている。そこで筆者らは、“円形”“正四角形”“45°-正四角形(正四角形に対して45°方向から波が入射)”の断面形状を採り、柱体に波が作用して湯食、波力 F_T をそれこれ測定できるよう測定装置を作成して実験を行ひ、本報告は左と右の挙動および断面形状が波力におよぼす効果などをについて若干の検討を行つた。

2. 実験装置・方法。 実験は1端にJ-type送波装置を有する幅0.9m、高さ1.0m、長さ16mの送波水槽を使用し、そのほか中央に吸い込まずを利用して波力を測定する波力計を設置した。波力計は上端ボルトで固定できる鋼鉄製板バネ(幅30mm、長さ300mm、厚さ6mm)とストレンジージュ两点に裏と表側1枚づき4枚を貼り付けて、柱体が波から受けた波力を差しとて出力エセラムのである。この波力計は詳しく F_T を測定できるようにするために、固定台のボルトを調整することにより、波の入射方向に対して90°回転できるようになつてゐる(Fig. 1)。実験に使用した柱体の断面形状寸法は、A:円形、B:正四角形、C:45°-正四角形で、波の入射方向に対する径D=4.8, 6.0, 8.9cmのものを使用した。また実験波の種類をTable 1。

3. 解析結果と検討。

3-1. Fig. 2は測定記録から計算して得られたパルスの各波の水面上変動を示す。ここで作用する F_T 、 F_T の瞬間変化を算出してもわかる。この図から、 F_T の周期は水面変動周期を一致しているが、 F_T の周期は F_T の1周期の間に2~3回変動していることがわかる。断面形状A, B, Cについて、4つの内の測定記録の中から $(F_T)_{max}/(F_T)_{min}$ を求めると、Aは0.78~1.035, Bは0.32~0.62, Cは

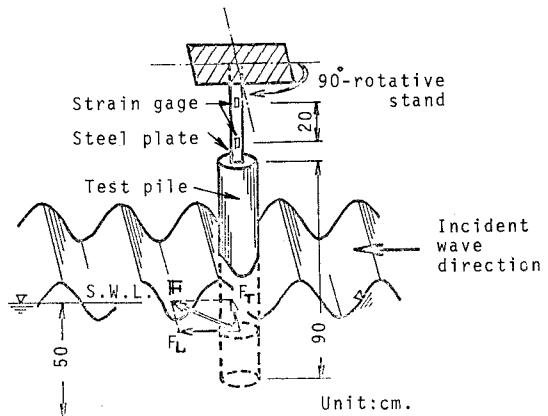
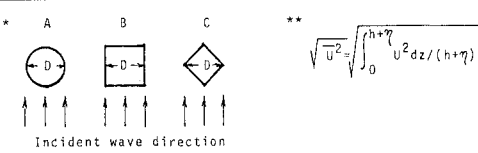


Fig. 1. Apparatus and definition sketch.

Table 1. Experimental conditions.

RUN NO.	T (sec)	h (cm)	H (cm)	L (cm)	H/L	$T\sqrt{g/h}$	D (cm)	Cross section of test pile		R_e^*	K_C^{**}
								number	$\sqrt{\frac{h^2}{D}} \cdot D$		
1	1.70	50.0	18.8	322.6	0.058	7.53	4.8	A, B, C	2.17x10 ⁴	16.2	
2	"	"	"	"	"	"	6.0	"	2.68	13.0	
3	"	"	"	"	"	"	8.9	"	4.03	8.7	
4	1.91	"	16.2	409.1	0.040	8.46	4.8	"	2.15	18.0	
5	"	"	"	"	"	"	6.0	"	2.68	14.4	
6	"	"	"	"	"	"	8.9	"	3.98	9.7	



1.04～2.20であることから、 F_T は断面形状によってかなり大きさの値をとることがわかる。これらの値は測定記録の中で最大値のみについての比であるが、機会をみてより最大値による比、 $(F_T)_{\text{max}}/(F_L)_{\text{max}}$ について検討する予定である。

3-2. η , F_L , F_T のスペクトル特性を調べるために、測定記録を0.04秒の間隔で、994個のデータをデジタル化し、Blackman & Tukey法でスペクトル計算を行つた。このデータ ラン数=90、自由度=約40である。測定階では、Table.1. の3種の断面形状(A, B, C)について、D=6.0 cm の場合に断面形状によって大きくちがつてゐるが、D=4.8, 8.9 cm の場合にはつて結果を整理して(F_L , [i], [ii], [iii], [iv])。Fig. 3 から、3-1 でも指摘したことより、 η と F_L , F_T とはほぼ同一振動数でピークを持つが、 F_L , F_T はかなり高周波側に平坦部を有するピーコフを持つてゐる。これらは F_L と F_T のピーク近傍での振動数比較すれば、Bidleが述べているように、 F_T は F_L の2～3倍の波力振動数を持つてゐる。以上のことをから、柱体の断面形状は波力スペクトル構造に影響をあらわしており、種々な柱のスペクトル構造には相当大きな影響を与えてゐる。また、スペクトル構造は、A, BKについては類似しているが、CKについてはかなり相違してゐることから、正四角形断面の柱の場合、柱体に対する風の入射角が F_T の大ささを支配していることがわかる。

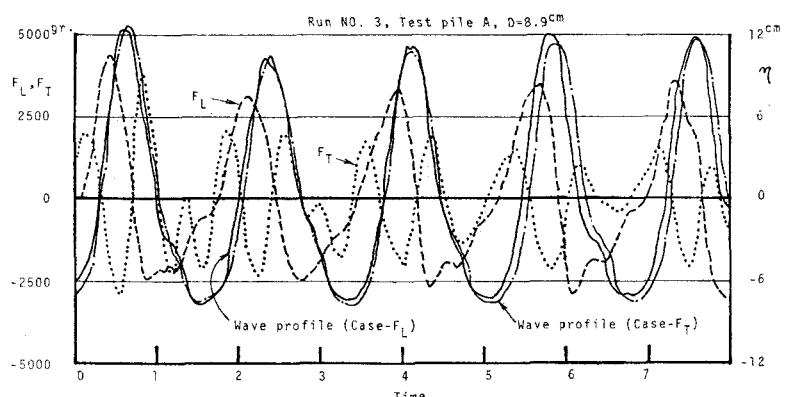


Fig. 2. Typical results of water surface at the pile (η), longitudinal force (F_L) and transverse force (F_T).

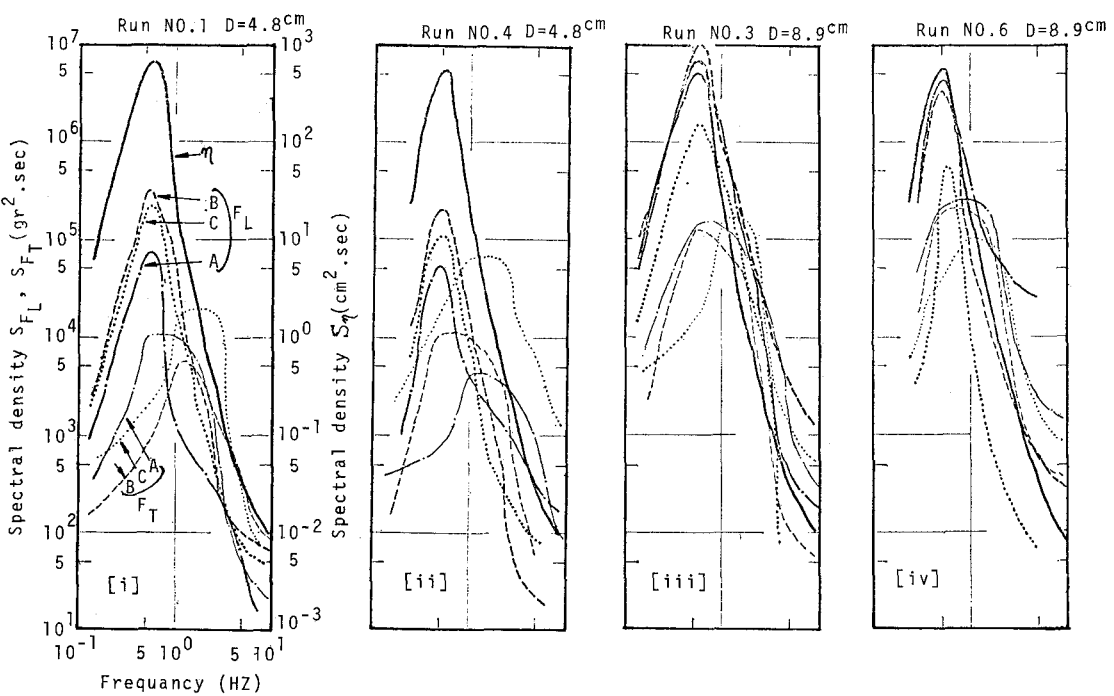


Fig. 3. Spectral density of S_η , S_{F_L} & S_{F_T} .